

首都高速道路公団 正員 中川 誠志
 (株) 鴻光組 〇 福原 啓内

1. きえがき

温度変化にともなう上部工の伸縮の影響を受ける橋脚の基礎グイは、地盤のクリープ・ペリラクゼーションの複雑に組み合わされた挙動を示す。このようなクイ基礎の設計にあたって、横方向地盤反力係数K値には荷重の載荷速度、載荷時間、変位の大きさ等の影響を考慮しなければならぬと思われる。ここではこの問題へのアプローチの一つとして、ボーリング孔を利用した孔内水平載荷試験(L.L.T)によりK値の時間依存性(クリープテスト)、非線形性をしるべ、K値を時間および変位の関数でありかつ $K(y, t) = \alpha\beta F(y)G(t)$ (α, β 係数)と変数分離型で表現できるとして、クイ~地盤系の解析にとり入れ、奥グイ(奥の場所打グイ)の水平載荷試験のシミュレーションを試み良好な結果を得たのでこの報告する。

2. 非線形性を考慮したK値

L.L.T試験における載荷々重 $P (=P_2 - P_1)$ と変位量 y (ゴムチューブの半径の増加量) の測定例を図-1に示す。この測定値も二本の漸近線をともなう双曲線関数であるとし

$$P = ay + b - \sqrt{cy^2 + dy + e} \quad \text{--- (1)}$$

測定結果に最も適するよう a, b, c, d, e を選定する。(図-1の破線に示す)。これより測定K値 K_m は次式で与えられる。

$$K_m = P/y = F(y) \quad \text{--- (2)}$$

これにL.L.Tの載荷様式と奥グイのそれと異なることによる補正 $\alpha = \pi/2$ 、クイ径の相異による補正 $\beta = (\frac{2r_0}{B})^k$ をおこなう。K値をもとめた。

$$K = \alpha\beta F(y) = \frac{\pi}{2} (\frac{2r_0}{B})^k F(y) \quad \text{--- (3)}$$

但し $2r_0$: ゴムチューブの初期半径 B ; 奥グイのクイ径
 地盤が砂質にわたる場合には、所帯の各層において同様の手法により、各層のK値をもとめる。

3. クリープ性状を考慮したK値

L.L.T試験を長時間にわたっておこなう。その測定結果を、変位と時間について表わしたものを図-2に示す。これらの結果を粘弾性モデルとの対応を考慮して下記に表わす。

$$y(t) = y_0 + \sum_{i=1}^n y_i (1 - e^{-\frac{t}{\tau_i}}) \quad \text{--- (4)}$$

ここに $y(t)$: 全変位量 y_0 : 初期変位量 τ_i : 遅延時間 y_i : クリープ変位量
 $y \sim t$ の実験データから $\tau_i (i=1 \sim 3)$ を適当にさだめて Collocation 法により $y_i (i=0 \sim 3)$ を決定する。しかしながら $y(t)$ は載荷応力レベルにより異なるため、単位応力レベルに相当する(クリープコンプライアンスに相当) $D_c(t)$ と変換すると (5)式が得られる。

$$D_c(t) = \frac{y(t)}{P} = D_0 + \sum_{i=1}^n D_i (1 - e^{-\frac{t}{\tau_i}}) \quad \text{但し } D_i = \frac{y_i}{P} \quad \text{--- (5)}$$

K値のクリープ性状 $G(t)$ は $K_0(t)$ をラプラス変換により (6)式のように表わし、その初期K値の比として求める。

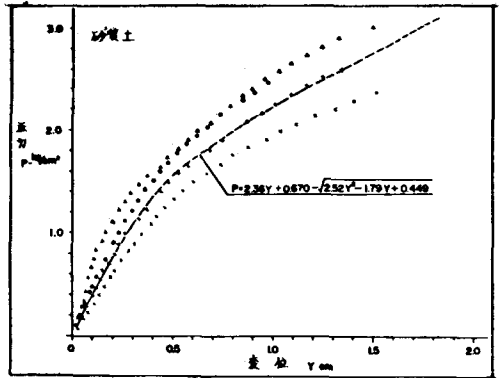


図-1 L.L.T試験測定例(通常) P~y

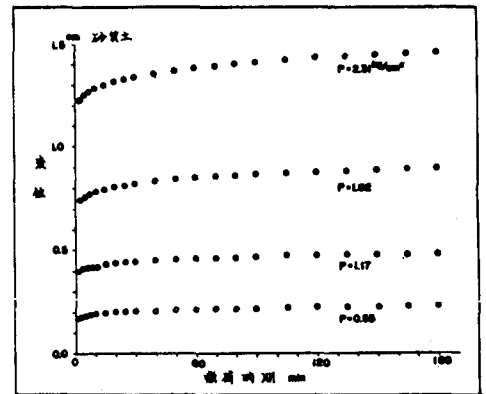


図-2 L.L.T長期載荷測定例 y~t

$$K_r(t) = 1/D_0(t) = K_0 + \sum_{i=1}^n K_i e^{-\lambda_i t} \quad (6)$$

$$G(t) = K_r(t)/K_r(0) \quad (7)$$

図-3はこれらの結果からえられたG(t)の一例である。図-3には室内三軸クリープテストについて同様に処理したものもあわせて示したが、これとみると応力レベルによるG(t)の差はわずかであるのでここではG(t)を応力レベルによる差はないとして図中の数式で代表させた。以上により変位および時間の関数としてのK値は(8)式でもとめられる。

$$K(y, t) = \alpha \beta F(y) G(t) \quad (8)$$

4. 解析手法

以上により地盤は非線形性とクリープ性状を考慮したK値としてあらわされたが、地盤は多層であることと、クイ体に生ずる応力によりコンクリートのクラックが生ずれば断面剛性が大幅に減少することを考慮して地中層を適当に層分割し各層毎のchangの方程式を立てる。 $\beta_i = \sqrt{\frac{K_i D_i}{4(EI)_i}}$ その一般解は下記で与えられる。

$$\text{地上部 } y = Ax^2 + Bx + Cx + D \quad \text{地中部 } y_i = e^{-\beta_i x} (H_i \cos \beta_i x + I_i \sin \beta_i x) + e^{-\beta_i x} (J_i \cos \beta_i x + K_i \sin \beta_i x) \quad (9)$$

これらの境界条件および連続条件よりA, B, C, D, H_i, I_i, J_i, K_iに関する連立一次方程式が得られる。これにより解が得られるが、K値が変位と時間の関数でありEIがひびわれ発生状況により異なるため実際の計算は次の手順による。

- ① 目標荷重H_{max}(時間tの関数)を決定する。
- ② H_{max}(t)を時間を考慮して適当にN分割しそれぞれの増分荷重をΔH_jとする。
- ③ 荷重H = $\sum_{j=1}^N \Delta H_j$ の状態から載荷時間(t - t_j)を考慮したΔH_{jH}の増分値に対する各層のK_i値を仮定する。
- ④ 荷重Hと仮定したK_i値に対してchangの式を解いて各層の変位を求め、 $y_i = \sum_{j=1}^N \Delta y_{ij}$
- ⑤ 変位y_iと時間tに対するK_i値を求めこれが③で仮定した値に一致すれば手順⑥を行なうがそうでなければ手順③にもどってK_i値を再仮定し再度④⑤を行う。
- ⑥ 各層の曲げモーメントM_iも計算し各断面のひびわれ発生の有無を調べる。ひびわれが発生しておればその断面の剛性を低下させて手順④にもどる。ひびわれ発生がなければ荷重をΔHだけ増分して手順③に戻りHが目標荷重になるまで上記の手順をくり返す。

5. 実測値と解析結果の比較

クイ径φ¹⁰クイ長約4.0^mの場所打グイの単グイ水平載荷試験の実測値と解析値の比較を図-4, 5に示す。図-4は300^{kg}載荷試験の例で荷重～時間、荷重～クイ頭変位の関係を示す。100^{kg}, 200^{kg}, 250^{kg}載荷時の各クリープ量を考慮した解析値は実測値と比較的よく一致している。図-5は長期クイ頭変位一定試験の例でクイ頭変位を2.76^{cm}と1.27^{cm}にそれぞれ固定させた場合のクイ頭荷重が時間とともにどのように低下するかを示している。実測値と計算値は非常によく一致していることがわかる。

6. おわりに

K値の非線形性および時間依存性を室内水平載荷試験より求め、実グイ(A.3.0^m場所打杭)の水平載荷試験に適用してみたところ、良好一致を見た。

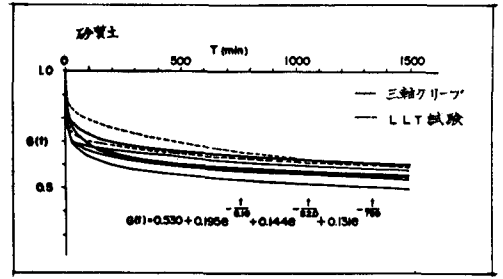


図-3 K値の時間依存性 G(t)曲線

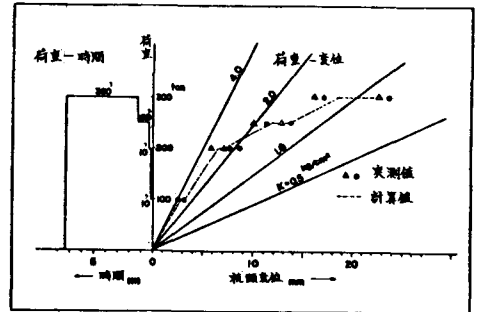


図-4 水平載荷試験の実測値と計算値の比較

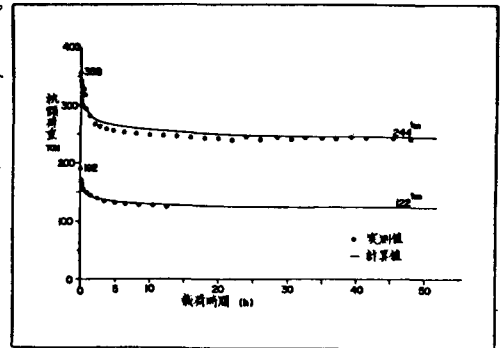


図-5 長期変位一定試験の実測値と計算値の比較